

СЗУ25

Г-276

ОБЪЕДИНЕННЫЙ
ИНСТИТУТ
ЯДЕРНЫХ
ИССЛЕДОВАНИЙ

Дубна

8/11-7

P2 - 5752

1852/2-71



5752

С.Р. Геворкян , А.В. Тарасов

МОСКОВСКИЙ ИНСТИТУТ ПРОБЛЕМ

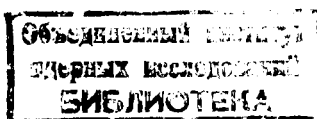
ЭФФЕКТЫ
МНОГОКРАТНОГО ПЕРЕРАССЕЯНИЯ
В ПРОЦЕССАХ ТИПА ПЕРЕЗАРЯДКИ

1971

С.Р. Геворкян*, А.В. Тарасов

ЭФФЕКТЫ
МНОГОКРАТНОГО ПЕРЕРАССЕЯНИЯ
В ПРОЦЕССАХ ТИПА ПЕРЕЗАРЯДКИ

Направлено в ЯФ



* Ереванский физический институт.

1. В ряде случаев для изучения взаимодействия быстрых частиц с нуклонами приходится использовать ядерные мишени. Например, исследование взаимодействия короткоживущих частиц-резонансов с нуклонами возможно только в том случае, если нуклон, на котором рождается резонанс, и нуклон, на котором он рассеивается, разделены расстоянием меньшим или сравнимым с распадной длиной нестабильной частицы. Для большинства известных резонансов это условие выполняется, если оба нуклона находятся в одном и том же ядре. Сечения многих неупругих процессов взаимодействия стабильных частиц с нуклонами сильно убывают с ростом энергии, и поэтому экспериментальное изучение таких процессов при очень высоких энергиях, по-видимому, также потребует использования ядерных мишеней. Поскольку многократные пересечения в ядре играют существенную роль, то необходим их корректный учёт, при анализе "ядерных" данных с целью получения информации об элементарных взаимодействиях. Ниже, в рамках общей теории неупругих процессов на ядрах ^{1/}, рассмотрены процессы типа перезарядки (фоторождение заряженных мезонов, перезарядки π - и K -мезонов, рождение нейтральных барионных резонансов протонами на ядрах) и получены компактные выражения для их дифференциальных сечений, просуммированных по конечным

состояниям ядра. Сравнение полученных результатов с результатами простого квазиклассического рассмотрения для таких процессов /2/ позволяет установить пределы применимости последнего.

2. Под процессами типа перезарядки мы будем понимать реакции $1 + A \rightarrow 2 + A'$ (1), в которых начальная (1) и конечная (2) частицы различаются зарядом или странностью.

Ввиду того, что элементарные "перезарядки" $1 + N \rightarrow 2 + N'$ (2) на разных нуклонах ядра A приводят к различным состояниям ядра A' , они не будут интерферировать. Поэтому сечение процесса (1), просуммированное по всем конечным состояниям ядра A' , равно сумме сечений элементарных процессов (2), каждое из которых ослаблено поглощением частиц 1 и 2 ядерной материей. Учёт этого поглощения, как известно из теории Глаубера^{/3/}, эквивалентен учёту всевозможных перерассеяний частиц 1 и 2 нуклонами ядра. Амплитуда $F_j^{\ell,m}$ перезарядки на j -ом нуклоне ядра, сопровождаемой перерассеянием частицы 1 на m нуклонах и перерассеянием частицы 2 на ℓ нуклонах, может быть представлена в виде (см., например,^{/4/})

$$F_j^{\ell,m}(\vec{k}_1, \vec{k}_2) = \frac{i \vec{k}_1}{2\pi} \int e^{i(\vec{k}_1 - \vec{k}_2) \cdot \vec{b}} d^2 b \phi_i^*(\vec{r}_1 \dots \vec{r}_A) \times \\ \times \Gamma_j^{\ell,m}(\vec{b}, \vec{r}_1 \dots \vec{r}_A) \phi_i(\vec{r}_1 \dots \vec{r}_A) d\vec{r}_1 \dots d\vec{r}_A, \quad (3)$$

$$\Gamma_j^{\ell,m}(\vec{b}, \vec{r}_1 \dots \vec{r}_A) = (-1)^{\ell+m} \prod_{k=1}^{\ell+m} \Gamma_{22}(\vec{b} - \vec{s}_{j+k}) \theta(z_{j+k} - z_j) \times \quad (4)$$

$$\times e^{-i\Delta||z_j} \Gamma_{12}(\vec{b} - \vec{s}_j) \prod_{i=1}^m \Gamma_{11}(\vec{b} - \vec{s}_i) \theta(z_j - z_i),$$

где \vec{k}_1 и \vec{k}_2 есть импульсы налетающей на ядро и вылетающей из ядра частиц соответственно.

Профилирующие функции

$$\Gamma_{xy}(\vec{b} - \vec{s}) = \frac{1}{2\pi i k} \int f_{xy}(\Delta) e^{i\vec{\Delta}(\vec{b} - \vec{s})} d^2 \Delta, \quad x, y = 1, 2, \quad (5)$$

представляют собой двумерные фурье-образы амплитуд рассеяния и перезарядки на отдельных нуклонах, $\phi_1(\vec{r})$ и $\phi_2(\vec{r})$ — волновые функции начального и конечного ядра, а

$$\Delta_{||} = k_1 - k_2 = \frac{m_2^2 - m_1^2}{2k_1} \quad (6)$$

есть продольная передача импульса.

Полная амплитуда F_j перезарядки на j -м нуклоне, с учётом всевозможных перерассеяний, дается суммой всех выражений (3)

$$F_j = \sum_{\ell, m} F_j^{\ell, m}. \quad (7)$$

Суммирование в (7) производится по всем комбинациям перерассеяний, причём $\ell + m \leq A - 1$, так как в рассматриваемой теории частица взаимодействует с каждым нуклоном не более одного раза. Дифференциальное сечение перезарядки частицы 1 на определенный угол с переходом ядра в фиксированное конечное состояние дается квадратом модуля амплитуды (7). Суммируя с помощью условия полноты по всем конечным состояниям ядра, к которым может приводить перезарядка на j -ом нуклоне, придем к рассмотрению выражений вида

$$\int d\vec{r}_1 \dots d\vec{r}_A |\phi_1(\vec{r}_1 \dots \vec{r}_A)|^2 d^2 b_1 d^2 b_2 e^{i(\vec{b}_1 - \vec{b}_2)(\vec{k}_1 - \vec{k}_2)} \times \\ \times \Gamma_j^{\ell, m}(\vec{b}_1, \vec{r}_1 \dots \vec{r}_A) [\Gamma_j^{\ell', m'}(\vec{b}_2, \vec{r}_1 \dots \vec{r}_A)]^* . \quad (8)$$

Будем использовать обычное представление для квадрата модуля волновой функции ядра-мишени:

$$|\phi_1(\vec{r})|^2 = \prod_{n=1}^A \frac{\rho(\vec{r}_n)}{A} , \quad (9)$$

где $\rho(\vec{r})$ – плотность распределения ядерной материи, а A – атомный номер. При этом интегрирования по координатам отдельных нуклонов разделяются, и выражения (8) принимают вид:

$$\int d\vec{b}_1 d\vec{b}_2 dz e^{i\Delta(\vec{b}_1 - \vec{b}_2)} \frac{1}{A} W(\vec{b}_1, \vec{b}_2, z) \times \\ \times \left[\frac{X(\vec{b}_1, z)}{A} \right]^{\ell-k} \left[\frac{X^*(\vec{b}_2, z)}{A} \right]^{\ell'-k} \left[\frac{Y(\vec{b}_1, z)}{A} \right]^{m-n} \times \quad (10) \\ \times \left[\frac{Y^*(\vec{b}_2, z)}{A} \right]^{m'-n} \left[\frac{U(\vec{b}_1, \vec{b}_2, z)}{A} \right]^k \left[\frac{V(\vec{b}_1, \vec{b}_2, z)}{A} \right]^n ,$$

где

$$W(\vec{b}_1, \vec{b}_2, z) = \int_{-\infty}^{\infty} \rho(z, \vec{s}) \Gamma_{12}(\vec{b}_1 - \vec{s}) \Gamma_{12}^*(\vec{b}_2 - \vec{s}) d\vec{s},$$

$$X(\vec{b}, z) = - \int_{-\infty}^z dz' \int_{-\infty}^{\infty} \rho(z', \vec{s}) \Gamma_{11}(\vec{b} - \vec{s}) d\vec{s},$$

$$Y(\vec{b}, z) = - \int_z^{\infty} dz' \int_{-\infty}^{\infty} \rho(z', \vec{s}) \Gamma_{22}(\vec{b} - \vec{s}) d\vec{s},$$

$$U(\vec{b}_1, \vec{b}_2, z) = \int_{-\infty}^z dz' \int_{-\infty}^{\infty} \rho(z', \vec{s}) \Gamma_{11}(\vec{b}_1 - \vec{s}) \Gamma_{11}^*(\vec{b}_2 - \vec{s}) d\vec{s},$$

$$V(\vec{b}_1, \vec{b}_2, z) = \int_z^{\infty} dz' \int_{-\infty}^{\infty} \rho(z', \vec{s}) \Gamma_{22}(\vec{b}_1 - \vec{s}) \Gamma_{22}^*(\vec{b}_2 - \vec{s}) d\vec{s}.$$

Ненулевые степени величин U и V возникают, если среди нуклонов, перерассеяние на которых учитывают амплитуды $F^{\ell, m}$ и $F^{\ell', m'}$, есть общие.

Сечение перезарядки на j -м нуклоне ядра с учётом всех перерассечений получается суммированием всех выражений (10), которое ввиду простоты последних сводится к простой комбинаторной задаче и приводит к следующему результату:

$$\begin{aligned}
 \frac{d\sigma_j}{dt} = & \frac{1}{4\pi} \frac{1}{A} \int d\mathbf{z} d^2 \mathbf{b}_1 d^2 \mathbf{b}_2 e^{i\vec{\Delta}(\vec{\mathbf{b}}_1 - \vec{\mathbf{b}}_2)} \times \\
 & \times W(\vec{\mathbf{b}}_1, \vec{\mathbf{b}}_2, \mathbf{z}) [1 + \frac{X(\vec{\mathbf{b}}_1, \mathbf{z})}{A} + \frac{X^*(\vec{\mathbf{b}}_2, \mathbf{z})}{A} + \\
 & + \frac{Y(\vec{\mathbf{b}}_1, \mathbf{z})}{A} + \frac{Y^*(\vec{\mathbf{b}}_2, \mathbf{z})}{A} + \frac{U(\vec{\mathbf{b}}_1, \vec{\mathbf{b}}_2, \mathbf{z})}{A} + \frac{V(\vec{\mathbf{b}}_1, \vec{\mathbf{b}}_2, \mathbf{z})}{A}]^{A-1}.
 \end{aligned} \tag{11}$$

Наконец, суммирование всех величин $d\sigma_j/dt$ по всем нуклонам, на которых может произойти перезарядка, сводится к умножению величины (11) на число протонов Z либо на число нейтронов $N = A - Z$ в зависимости от зарядовой структуры исследуемого процесса.

3. Рассмотрим перезарядки на средних и тяжелых ядрах ($A \gg 1$). Учитывая, что в этом случае размеры ядер R существенно больше радиуса элементарного взаимодействия d , получим:

$$\begin{aligned}
 \int \Gamma_{11}(\vec{\mathbf{b}}_1 - \vec{\mathbf{s}}) \rho(\vec{\mathbf{s}}, \mathbf{z}) d\mathbf{s} & \approx \rho(\vec{\mathbf{b}}, \mathbf{z}) \int \Gamma_{11}(\vec{\mathbf{b}}_1 - \vec{\mathbf{s}}) d\vec{\mathbf{s}} = \\
 & = \frac{\sigma_1}{2} (1 - i\alpha_1) \rho(\vec{\mathbf{b}}, \mathbf{z}),
 \end{aligned} \tag{12}$$

$$\int \Gamma_{11}(\vec{b}_1 - \vec{s}) \Gamma_{11}^*(\vec{b}_2 - \vec{s}) \rho(\vec{s}, z) \approx \Omega_{11}(\vec{b}_1 - \vec{b}_2) \rho\left(\frac{\vec{b}_1 + \vec{b}_2}{2}, z\right) \quad (13)$$

и Т.Д.

где

$$\Omega_{11}(\beta) = \int |f_{11}(\vec{\Delta})|^2 \frac{e^{i\vec{\Delta}\vec{\beta}}}{k^2} d^2 \Delta \quad , \quad (14)$$

$\Omega_{11}(0) \equiv \sigma_1 e \ell$ — полное упругое сечение взаимодействия частицы с нуклоном,

$\sigma_1 \equiv \sigma_1^{\text{tot}}$ — полное сечение взаимодействия частицы 1 с нуклоном,

$$\alpha_1 = \operatorname{Re} f_{11}(0) / \operatorname{Im} f_{11}(0).$$

Поскольку величина

$$W(\vec{b}_1, \vec{b}_2, z) \approx \Omega_{12}(\vec{\beta}) \rho(\vec{B}, z)$$

$$(\vec{\beta} = \vec{b}_1 - \vec{b}_2, \quad \vec{B} = \frac{\vec{b}_1 + \vec{b}_2}{2})$$

существенно отлична от нуля лишь в области $\beta \leq d$, а $d \ll R$, то величины $X(\vec{b}_1, z)$, $X^*(\vec{b}_2, z)$, $Y(\vec{b}_1, z)$, $Y^*(\vec{b}_2, z)$ в (11) можно заменить с точностью до членов порядка d/R величинами $X(B, z)$,

$X^*(\vec{B}, z)$, $Y(\vec{B}, z)$, $Y^*(\vec{B}, z)$. Такая замена позволяет записать сечение перезарядки на ядре, просуммированное по всем конечным состояниям ядра в виде:

$$\frac{d\sigma}{dt} = \frac{1}{4\pi} \frac{Z(N)}{A} \int d\vec{\beta} d\vec{B} e^{i\vec{\Delta}\vec{\beta}} \Omega_{12}(\vec{\beta}) \times$$

$$\times \rho(\vec{B}, z) dz \left\{ 1 + \frac{1}{A} [(\Omega_{22}(\vec{\beta}) - \sigma_2) \int_z^\infty \rho(z', \vec{B}) dz' + \right.$$

$$+ (\Omega_{11}(\vec{\beta}) - \sigma_1) \int_{-\infty}^z \rho(z', \vec{B}) dz'] \right\}^{A-1} \approx$$

$$\approx \frac{1}{4\pi} \frac{Z(N)}{A} \int e^{i\vec{\Delta}\vec{\beta}} \Omega_{12}(\vec{\beta}) \rho(\vec{B}, z) dz d\vec{\beta} d\vec{B} \times$$

$$\times \exp [(\Omega_{11}(\vec{\beta}) - \sigma_1) \int_{-\infty}^z \rho(\vec{B}, z') dz' +$$

$$+ (\Omega_{22}(\vec{\beta}) - \sigma_2) \int_z^\infty \rho(z', \vec{B}) dz'] =$$

$$= \frac{1}{4\pi} \frac{Z(N)}{A} \int d\vec{\beta} e^{i\vec{\Delta}\vec{\beta}} \vec{\Omega}_{12}(\vec{\beta}) \times \\ \times N[\sigma_1 - \Omega_{11}(\vec{\beta}), \sigma_2 - \Omega_{22}(\vec{\beta})]. \quad (15)$$

B (15)

$$N(\tilde{\sigma}_1, \tilde{\sigma}_2) = \int d\vec{B} \frac{e^{-\tilde{\sigma}_2 T(\vec{B})} - e^{-\tilde{\sigma}_1 T(\vec{B})}}{\tilde{\sigma}_1 - \tilde{\sigma}_2} - \quad (16)$$

так называемые эффективные числа нуклонов, а

$$T(\vec{B}) = \int_{-\infty}^{\infty} \rho(z, \vec{B}) dz,$$

$$\tilde{\sigma}_1 = \sigma_1 - \Omega_{11}(\vec{\beta}), \quad \tilde{\sigma}_2 = \sigma_2 - \Omega_{22}(\vec{\beta}).$$

До сих пор предполагалось, хотя это никогда специально не оговаривалось, что плотности распределения протонов $\rho_p(b, z)$ и нейтронов $\rho_n(\vec{b}, z)$ одинаковы, $\rho_p(\vec{b}, z) = \rho_n(\vec{b}, z)$, а сечения взаимодействия частиц 1 и 2 с протонами и нейтронами равны. В общем случае, когда эти условия не выполняются, выражение (15) модифицируется следующим образом:

$$\frac{d\sigma}{dt} = \frac{1}{4\pi} \frac{Z(N)}{A} \int \vec{\Omega}_{12}(\vec{\beta}) e^{i\vec{\Delta}\vec{\beta}} d\vec{\beta} d\vec{B} dz \times$$

$$\times \rho_{p(n)}(\vec{B}, z) \exp \{ (\Omega_{11,p}(\vec{\beta}) - \sigma_{1p}) Z/A \int_{-\infty}^z \rho_p(\vec{B}, z') dz' +$$

$$\begin{aligned}
 & + (\Omega_{11,n}(\vec{\beta}) - \sigma_{1n}) N/A \int_{-\infty}^z \rho_n(\vec{B}, z') dz' + \\
 & + (\Omega_{22,p}(\vec{\beta}) - \sigma_{2p}) Z/A \int_z^\infty \rho_p(\vec{B}, z') dz' + \\
 & + (\Omega_{22,n}(\vec{\beta}) - \sigma_{2n}) N/A \int_z^\infty \rho_n(\vec{B}, z') dz' \}.
 \end{aligned} \tag{17}$$

Проинтегрировав выражение (17) по t , нетрудно получить, что отношение полного сечения перезарядки на ядре к полному сечению перезарядки на свободном нуклоне является функцией лишь полных неупругих сечений ($\sigma_{1n} = \sigma_{tot} - \sigma_{el}$) взаимодействия частиц 1 и 2 с нуклонами.

Этот результат имеет простую интерпретацию, а именно: упругая часть взаимодействия частиц 1 и 2 с нуклонами может изменить лишь угловые распределения вылетающих из ядра частиц, но не может изменить величины их полного выхода из ядра ^{x/}.

4. Если в выражении (17) пренебречь величинами Ω_{11} и Ω_{22} , то получится известный квазиклассический результат для сечения перезарядки (см. ^{1/2/}):

$$\frac{d\sigma}{dt} = \frac{d\sigma_0}{dt} - \frac{Z(N)}{A} \int \rho_{p(n)}(\vec{B}, z) dz d\vec{B} \times$$

^{x/} Авторы благодарят за это замечание Н.Н. Петрова.

$$\times \exp [-\sigma_{1n} - \frac{N}{A} \int_{-\infty}^z \rho_n(\vec{B}, z') dz' - \sigma_{1p} Z/A \int_{-\infty}^z \rho_p(\vec{B}, z') dz' - \\ (18)$$

$$-\sigma_{2n} \frac{N}{A} \int_z^\infty \rho_n(\vec{B}, z') dz' - \sigma_{2p} Z/A \int_z^\infty \rho_p(\vec{B}, z') dz'],$$

где

$$\frac{d\sigma_0}{dt} = \frac{d\sigma_{1+N \rightarrow 2+N}}{dt}.$$

Подобное пренебрежение, как уже отмечалось в литературе^{/1-3/}, вносит погрешность порядка $\epsilon = \sigma_{el} / \sigma_{tot} = 0,1-0,2$ в величину дифференциального сечения при малых передачах $t \leq 0,1 (\frac{GeV}{c})^2$. Однако при больших передачах эффект перерассеяний высшей кратности, описываемых величинами Ω_{11} и Ω_{22} , становится существенным, и поэтому в этой области передач использование простого квазиклассического рассмотрения может оказаться некорректным. На рис. 1 приведены отношения R величин $d\sigma/dt$, рассчитанных по формуле (15) и по формуле (18), в которой положено $\rho_p = \rho_n = \rho$, $\sigma_{1p} = \sigma_{1n}$, $\sigma_{2p} = \sigma_{2n}$. Кривая 1 отвечает процессам перезарядки $\pi^- A \rightarrow \pi^0 A'$, $\pi^- A \rightarrow \rho^0 A'$ и т.д., кривая 2 – процессам фоторождения заряженных мезонов $\gamma A \rightarrow \pi^\pm A'$, $\gamma A \rightarrow \rho^\pm A'$ и, наконец, кривая 3 – процессу рождения нейтральной нуклонной изобары протонами $p + A \rightarrow \Lambda^0 + A'$. Сечения (полные и дифференциальные) взаимодействия ρ -мезонов с нуклонами полагались равными π -мезон-нуклонным сечениям, а сечения взаимодействия изобары с нуклонами – равными нуклон-нуклонным. Предполагалась также экспоненциальная зависимость амплитуд от инвариантной передачи $f(\Delta_\perp) = f(0) e^{-a/2 \Delta_\perp^2}$ с параметром наклона $a = 10 (\frac{GeV}{c})^{-2}$. Плотность распределения ядерной материи выбиралась в виде

$$\rho(\vec{r}) = \frac{1}{\pi^{3/2} r_0^3} e^{-r^2/r_0^2 A^{2/3}}, \text{ где } r_0^2 = 0.88 F^2.$$

Отношения R в этой модели почти не зависят от атомного номера A при $A > 20$. Результаты расчётов, приведенные на рисунке, относятся к $A = 27$ (Al). Как видно, предсказания классической теории поглощения^{/2/} и предсказания теории многократного рассеяния при передачах $t \approx 0.5$ (Гэв/с)² сильно различаются. Тем самым ошибка, вносимая в определение величины $d\sigma_0/dt$ в результате ядерных измерений $d\sigma/dt$ с использованием формул типа (18) вместо (17) становится сравнимой с самой измеряемой величиной при больших передачах t .

Если дифференциальные сечения рождения резонансов $d\sigma_0/dt$ известны из прямых измерений на нуклонах, то их рождение на ядрах при малых передачах $t \leq 0.1$ позволяет определить полные сечения их взаимодействия с нуклонами ($d\sigma/dt \approx \frac{d\sigma_0}{dt} N(\sigma_1, \sigma_2)$), а изучение их рождения при больших передачах несёт также информацию о дифференциальных сечениях упругого рассеяния резонансов на нуклонах.

Авторы признательны Л.И. Лапидусу и Ч. Цэрэну за интерес к работе и обсуждения. Один из авторов (С.Г.) благодарит С.Г. Матиняна за обсуждение.

Литература

1. J. Formanek and J.S. Trefil. Nucl. Phys., B3, 155 (1967);
B4, 165 (1968);
 K.S. Kolbig, B. Margolis. Nucl. Phys., B6, 85 (1968).
2. O. Kofoed-Hansen and B. Margolis. Nucl. Phys., B11, 455 (1969).

3. R.J. Glauber. High Energy Phys. and Nuclear Structure.
(North-Holland Publ. Comp. Amsterdam, 1967), p. 311;
R.G. Glauber, G. Matthiae. Nucl. Phys., B21, 135
(1970).
4. С.Р. Геворкян, А.В. Тарасов, Ч. Цэрэн. Препринт ОИЯИ, Р2-5604,
Дубна, 1971.

Рукопись поступила в издательский отдел
19 апреля 1971 года.

R

2.7
2.6
2.5
2.4
2.3
2.2
2.1
2.0
1.9
1.8
1.7
1.6
1.5
1.4
1.3
1.2
1.1
1

\rightarrow

J

J

0
0.1
0.2
0.3
0.4
0.5
 $t \left(\frac{G_{\text{av}}}{c} \right)^2$